

# 顶空固相微萃取-气相色谱-质谱法测定 香紫苏香气成分

付 铭, 曹 续, 孙宝阳, 王爱霞\*

(新疆维吾尔自治区分析测试研究院, 乌鲁木齐 830011)

**摘要:** 目的 建立一种利用顶空固相微萃取-气相色谱-质谱法快速测定香紫苏香气成分的方法。方法 采用顶空固相微萃取-气相色谱-质谱联用技术, 对新疆香紫苏香气成分进行测定分析, 并采用面积归一化法计算各成分的相对含量。**结果** 共鉴定出 18 种化学成分, 主要成分为乙酸芳樟酯(79.58%)及芳樟醇(8.32%)。

**结论** 顶空固相微萃取与气相色谱-质谱联用技术具有样品用量少、前处理过程简单等优点, 适用于测定香紫苏香气成分。

**关键词:** 香紫苏; 顶空固相微萃取; 气相色谱-质谱联用法; 香气成分

## Determination of aromatic ingredients of *Salvia sclarea* by headspace solid phase microextraction-gas chromatography-mass spectrometry

FU Ming, CAO Xu, SUN Bao-Yang, WANG Ai-Xia\*

(Xinjiang Institute of Analysis and Testing, Xinjiang Uygur Autonomous Region, Urumchi 830011, China)

**ABSTRACT: Objective** To establish a method for rapid determination of volatile aroma components in *Salvia sclarea* by headspace solid phase microextraction-gas chromatography-mass spectrometry (HS-SPME-GC-MS).

**Methods** The volatile aroma components of Xinjiang *Salvia sclarea* were analyzed by means of headspace solid phase microextraction-gas chromatography-mass spectrometry, and the relative content of each component was calculated by area normalization method. **Results** A total of 18 chemical components were identified, and the main ingredients were linalyl acetate (79.58%) and linalool (8.32%). **Conclusion** Headspace solid phase microextraction and gas chromatography-mass spectrometry has the advantages of less sample consumption and simple pretreatment process, which is suitable for the determination of volatile aroma components in *Salvia sclarea*.

**KEY WORDS:** *Salvia sclarea*; headspace solid phase microextraction; gas chromatography-mass spectrometry; aroma ingredients

## 0 引言

香紫苏(*Salvia sclarea* L)别名南欧丹参, 莲座鼠尾草,

是唇形科鼠尾草属著名香料<sup>[1]</sup>, 香紫苏油具有清甜柔和的药草香, 并兼有龙涎香的琥珀气息, 具有龙涎香、麝香、熏衣草香、柠檬香、橙花香等香气, 是被广泛应用于香水、葡萄

基金项目: 新疆维吾尔自治区自然基金项目(2018D01A58)

**Fund:** Supported by the Xinjiang Uygur Autonomous Region Natural Fund Project (2018D01A58)

\*通信作者: 王爱霞, 高级实验师, 主要研究方向为天然产物的研究与开发。E-mail: xiaoai5215@126.com

\*Corresponding author: WANG Ai-Xia, Senior Engineer, Xinjiang Institute of Analysis and Testing, Xinjiang Uygur Autonomous Region, Urumchi 830011, China. E-mail: 348200512@126.com

酒、烟草等的香原料<sup>[2]</sup>。马松涛等<sup>[3]</sup>、采继宝等<sup>[4]</sup>、KARIM 等<sup>[5]</sup>采用水蒸气蒸馏法提取香紫苏油, 利用气相色谱-质谱技术对香紫苏挥发油成分进行了研究, 鉴定出 40 种以上挥发性成分, 该法需要首先提取挥发油, 然后利用气相色谱质谱仪进行挥发油的分析, 操作复杂且耗时较长。利用顶空固相微萃取-气相色谱-质谱法测定香紫苏香气成分未见报道, 常温固相微萃取技术<sup>[6]</sup>, 是一种集采样、萃取、富集、脱附、进样于一体的样品预处理技术, 其装置小巧便于携带, 简单便捷且精确分析样品挥发性成分, 在环境、医学、中医学、化学等领域都得到广泛的运用<sup>[7-15]</sup>。本研究用顶空固相微萃取-气相色谱-质谱法(headspace solid phase microextraction-gas chromatography-mass specrometry, HS-SPME-GC-MS), 在不同 GC-MS 程序升温条件下反复对比选取最佳条件, 测定香紫苏中挥发性成分, 逐步明确香紫苏香气成分, 以期对我国香味香料研究提供依据。

## 1 材料与方法

### 1.1 原材料

本研究香紫苏来自新疆伊犁昭苏县香紫苏原料, 市售。

### 1.2 主要仪器

配有萃取头(MW 40-275 50/30 μm DVB/CAR/PDMS、MW 60-275 100 μm DVB/CAR/PDMS)的固相微萃取装置(美国 SUPELCO 公司); GC-MS-QP2010Plus 气相色谱质谱联用仪(日本岛津公司)。

### 1.3 方法

#### 1.3.1 实验条件

##### (1)材料处理

取成熟香紫苏样品, 将其自然晾干, 整株粉碎过 60 目筛后供试。

初步选定条件测定样品: 取约 1 g 试样于聚四氟乙烯压盖顶空瓶中, 迅速用压盖器将顶空瓶压紧, 于 30 °C 条件下, 吸附 60 min, 解吸附 20 min, 脱附温度 250 °C; 脱附时间 5 min。

##### (2)气相色谱条件

载气: 氦气; 进样方式: 分流; 分流比: 50:1; DB-5MS 毛细管色谱柱(30 m×0.25 mm, 0.25 μm); 程序升温: 起始

温度 40 °C, 保留 1 min 后以 5 °C/min 升至 100 °C, 保留 1 min 后以 15 °C/min 升至 260 °C; 进样口温度: 250 °C。

#### (3)质谱条件

离子源: EI 源; 离子源温度: 230 °C; 离子化能量: 70 eV; 接口温度: 260 °C; 全扫描范围( $m/z$ ): 50~450 nm; 结束采集时间: 30 min。

#### 1.3.2 固相微萃取条件优化

取约 1 g 试样于聚四氟乙烯压盖顶空瓶中, 通过萃取头的选择、萃取温度的选择及固相微萃取吸附解吸附时间的优化, 寻找最佳固相微萃取条件。

##### (1)萃取头的选择

实验室现有萃取头: 用于挥发性物质(MW 60-275)100 μm DVB/CAR/PDMS 的萃取头和用于香味物质、挥发性和半挥发性物质(MW 40-275) 50/30 μm DVB/CAR/PDMS 萃取头, 通过初步选定条件测定, 决定选用其中一种萃取头。

##### (2)萃取温度的选择

用选定的萃取头以 25、35、45 °C 分别吸附样品 30 min, 通过初步选定条件测定, 确定最佳萃取温度。

##### (3)萃取时间的优化

取约 1 g 试样于聚四氟乙烯压盖顶空瓶中, 以选定萃取头, 在优化后的萃取温度下萃取样品, 通过改变固相微萃取吸附解吸附时间, 寻找最佳样品预处理条件。

#### 1.3.3 选定参数下样品含量测定

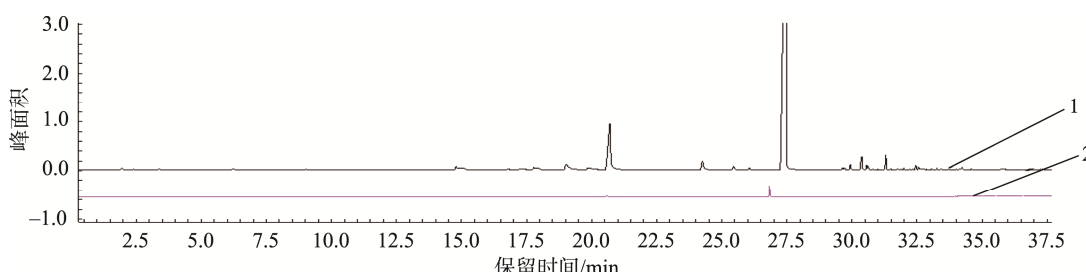
通过优化后选定的萃取头、萃取温度进行样品萃取, 以优化的吸附解析时间进行预处理, 通过合适的程序升温条件进行样品的分离, 最终以质谱检测器检测, 以峰面积归一化法对香紫苏中各香气成分进行定量。

## 2 结果与分析

### 2.1 固相微萃取条件优化

#### 2.1.1 萃取头的选择

2 种萃取头萃取效果色谱图如图 1 所示, 根据色谱图判断型号为 MW 40-275 萃取头萃取效果优于型号为 MW 60-275 萃取头, 因此选用型号为 MW 40-275 萃取头萃取样品中香气成分。



注: 1: 型号为 MW 40-275 萃取头萃取效果图; 2: 型号为 MW 60-275 萃取头萃取效果图。

图 1 不同萃取头萃取效果图

Fig.1 Chromatogram of extraction effect of different extraction heads

### 2.1.2 萃取温度的选择

不同萃取温度下各组分色谱图如图 2 所示, 根据色谱图判断不同萃取温度下, 各组分结果相差不大, 因此选择 25 °C 以上的温度进行样品中香气成分的萃取, 免去了调解萃取温度的程序。

### 2.1.3 萃取时间的优化

通过吸附 10 min 解吸附 5 min; 吸附 30 min 解吸附 10 min; 吸附 60 min 解吸附 20 min 3 个预处理条件得到香气成分局部放大图, 见图 3。

通过图 3 可知, 预处理时, 随着吸附、解吸附时间的增加, 样品含量增大, 最后趋于稳定。吸附 60 min 解吸附

20 min 时, 各组分含量最大, 但是相对于吸附 30 min 解吸附 10 min 的时间成本较大, 且吸附 30 min 解吸附 10 min 条件下香紫苏香气成分均得到挥发, 满足峰面积归一化法的定量需求。因此本研究采用吸附 30 min 解吸附 10 min 的固相微萃取条件进行样品的预处理。

## 2.2 选定参数下样品含量测定

在优化的选定参数下通过气相色谱-质谱联用技术采集 30 min 内香紫苏香气成分所得到的总离子流图(total ions chromatograph, TIC), 见图 4。图 5 为香紫苏在 14~35 min 内局部放大色谱图。

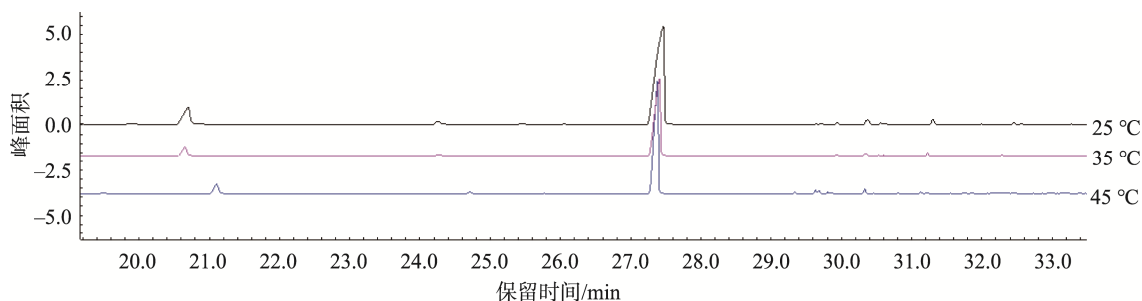


图 2 不同萃取温度下各组分色谱图

Fig.2 Chromatogram of each component under different extraction temperatures

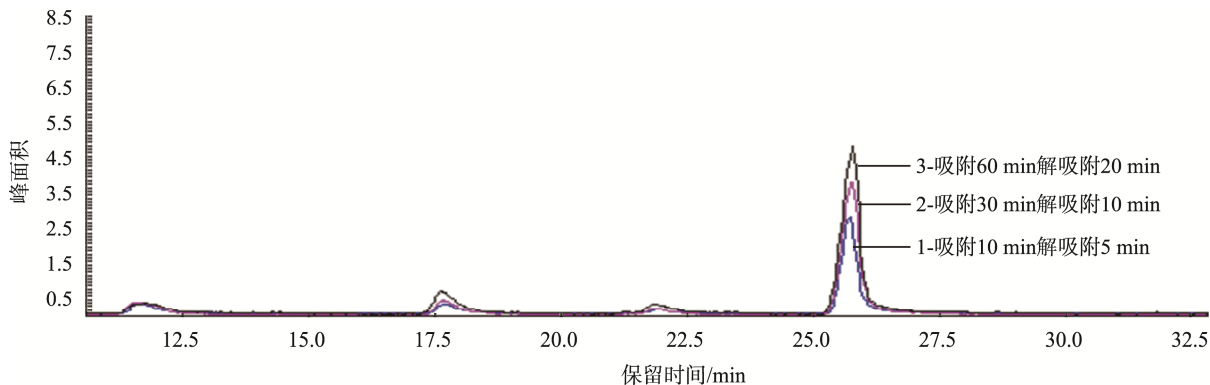


图 3 固相微萃取条件优化图

Fig.3 Optimization diagram of solid phase microextraction conditions

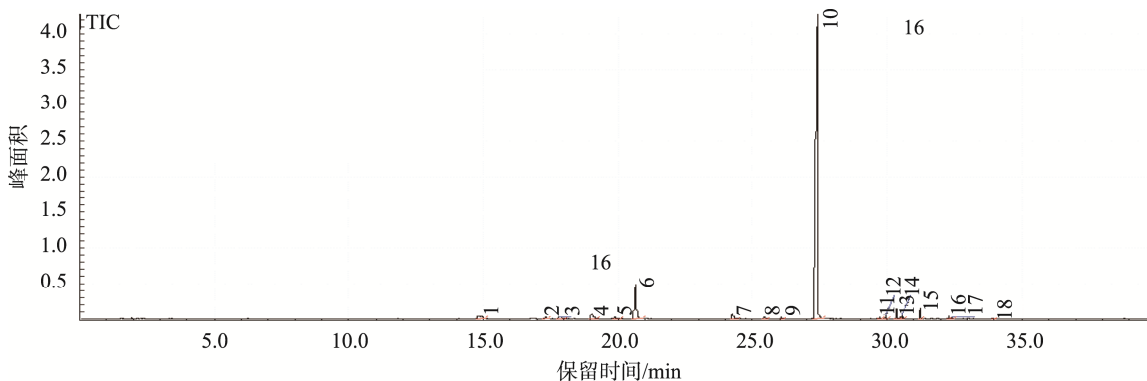


图 4 固相微萃取-气相色谱-质谱联用所得香紫苏香气总离子流图

Fig.4 Total ion chromatogram of *Salvia sclarea* aroma obtained by solid-phase microextraction at room temperature coupled with gas chromatography-mass spectrometry

### 2.3 香紫苏香气成分表

通过气相色谱-质谱联用采集时间 30 min, 各色谱峰对应质谱图经人工解析, 通过NIST14图库分析, 以匹配度在90%以上的组分结合香紫苏样品的特性确定定性离子, 采用峰面积归一化法定量, 确定香紫苏香气成分, 见表1。

由表1可知, 顶空固相微萃取-气相色谱-质谱法分离, NIST14图库共鉴定出18种化学成分, 其中乙酸芳樟酯(79.58%)和芳樟醇(8.32%)为主要化学成分, 与文献<sup>[3-5]</sup>报道香紫苏油中分离出40种以上挥发性成分存在不同, 且乙酸

芳樟酯含量为40%~50%、芳樟醇含量为20%~30%。采用水蒸气蒸馏法提取香紫苏挥发油然后进行挥发油的气相色谱-质谱分析与直接采用顶空固相微萃取-气相色谱-质谱法进行挥发性成分分析在种类及含量上差别极大, 分析是否与香紫苏品种有关或者香紫苏挥发性成分进样方式有关, 水蒸气蒸馏法是否能够使挥发性组分充分挥发而得到检测。另外, 文献报道<sup>[3-5]</sup>使用的色谱柱为非极性和强极性色谱柱, 本研究使用弱极性色谱柱进行分离, 色谱柱的极性是否对分离效果有影响, 有关以上内容有待于进一步研究。

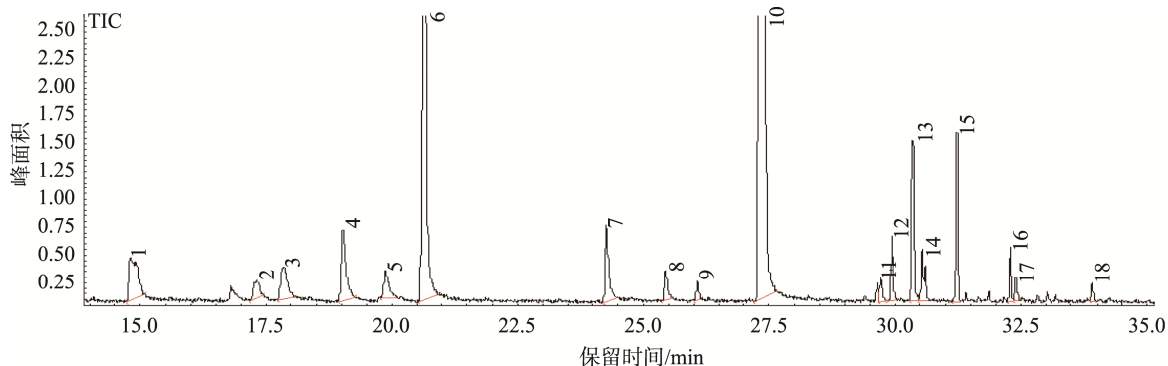


图5 香紫苏总离子流图局部放大图

Fig.5 Partial enlargement of the total ion flow diagram of *Salvia sclarea*

表1 香紫苏香气成分 SPME-GC-MS 分析结果  
Table 1 SPME-GC-MS analysis results of aroma components in *Salvia sclarea*

序号	保留时间/min	化合物名称	CAS号	分子式	峰面积/%
1	14.81	$\beta$ -月桂烯	123-35-3	$C_{10}H_{16}$	1.45
2	17.316	$\alpha$ -蒎烯	80-56-8	$C_{10}H_{16}$	0.45
3	17.852	$\beta$ -罗勒烯	13877-91-3	$C_{10}H_{16}$	0.93
4	19.029	(Z)-3, 7-二甲基-1, 3, 6-十八烷三烯	3338-55-4	$C_{10}H_{16}$	1.45
5	19.867	反式芳樟醇氧化物(呋喃)	34995-77-2	$C_{10}H_{18}O_2$	0.59
6	20.655	芳樟醇	78-70-6	$C_{10}H_{18}O$	8.32
7	24.26	环氧玫瑰呋喃	92356-06-4	$C_{10}H_{14}O_2$	1.22
8	25.436	$\alpha$ -松油醇	10482-56-1	$C_{10}H_{18}O$	0.42
9	26.069	橙花醇	106-25-2	$C_{10}H_{18}O$	0.20
10	27.411	乙酸芳樟酯	115-95-7	$C_{12}H_{20}O_2$	79.58
11	29.708	(+)-二氢香芹醇	20549-47-7	$C_{10}H_{18}O$	0.26
12	29.937	乙酸橙花酯	141-12-8	$C_{12}H_{20}O_2$	0.50
13	30.354	alpha-copaene(/)	138874-68-7	$C_{15}H_{24}$	1.83
14	30.534	$\beta$ -波旁烯	5208-59-3	$C_{15}H_{24}$	0.71
15	31.23	石竹烯	13877-93-5	$C_{15}H_{24}$	1.28
16	32.29	右旋大根香叶烯	37839-63-7	$C_{15}H_{24}$	0.40
17	32.395	naphthalene, 1,2,3,5,6,7,8,8a-octahydro-1,8a-dimethyl-7-(1-methylethenyl)-, [1S-(1.alpha.,7.alpha.,8a.alpha.)]- (瓦伦西亚桔烯)	4630-7-3	$C_{15}H_{24}$	0.23
18	33.916	氧化石竹烯	214-519-7	$C_{15}H_{24}O$	0.18

注: 本研究中含量小于0.1%的组分没有参与定量计算。

### 3 结论与讨论

植物种类、生长状态、植物的部位的不同，所测定挥发性物质也有所不同。香紫苏中共鉴定出 18 种化合物，其中主要成分乙酸芳樟酯、芳樟醇共占香紫苏香气的 87.90%，采用顶空固相微萃取-气相色谱-质谱联用技术能有效地鉴别出香紫苏中香气成分，样品用量少，仅 10 g 左右即可测定；易操作，样品顶空后，使用固相微萃取装置吸附挥发性成分即可；灵敏度高，优选较好的采集条件测定香紫苏香气成分，为研究香紫苏各化学成分奠定了基础，通过挥发性成分快速的辨别香紫苏品种，进一步探索我国香精香料提供了良好的技术支持。

### 参考文献

- [1] 翟周平. 香紫苏[J]. 植物杂志, 2000, (2): 14.
- ZHAI ZP. *Salvia sclarea* [J]. Plants, 2000, (2): 14.
- [2] 张悠金, 金闻博. 烟用香料香精[M]. 合肥: 中国科学技术大学出版社, 1996.
- ZHANG YJ, JIN WB. The flavor and fragrance of tobacco [M]. Hefei: Press of University of Science and Technology of China, 1996.
- [3] 马松涛, 赵继飚, 党俊伟. 用 GC/MS 联用技术分析香紫苏挥发油成分[J]. 河南科学, 2003, 21(6): 726–727.
- MA ST, ZHAO JB, DANG JW, et al. Study on the chemical components of sage clary volatile oil by GC/MS [J]. Henan Sci, 2003, 21(6): 726–727.
- [4] 采继宝, 林平, 桑文强, 等. 精油中挥发性成分 GC/FTIR 与 GC/MS 联合分析[J]. 光谱学与光谱分析, 2005, 25(10): 1601–1602.
- CAI JB, LIN P, SANG WQ, et al. Analysis of essential oil components by GC/FTIR and GC/MS [J]. Spectrosc Spectr Anal, 2005, 25(10): 1601–1602.
- [5] KARIM R, JEAN H. Phytochemical compositions and antidiabetic potentials of *Salvia sclarea* L [J]. Essent Oils, 2018, (67): 1015–1025.
- [6] 张静斐, 吴惠勤, 黄晓兰, 等. 固相微萃取/气相色谱-质谱研究沉香的特征成分[J]. 分析测试学报, 2017, 36(7): 841–848.
- ZHANG JF, WU HQ, HUANG XL, et al. Investigation on characteristic constituents of agarwood by SPME/GC-MS [J]. J Instrum Anal, 2017, 36(7): 841–848.
- [7] 周珊, 赵立文, 马腾蛟, 等. 固相微萃取(SPME)技术基本理论及应用进展[J]. 现代科学仪器, 2006, (2): 86–103.
- ZHOU S, ZHAO LW, MA TJ, et al. Fundamental theory of SPME technology and its application progress [J]. Mod Sci Instrum, 2006, (2): 86–103.
- [8] 龙群, 石勇, 王夏潮, 等. 昆仑雪菊及其胎菊中挥发油成分比较[J]. 中药材, 2020, 48(8): 1916–1919.
- LONG Q, SHI Y, WANG XC, et al. Comparison of the essential oil components in *Saussurea* Kunlun and its fetus [J]. J Chin Med Mater, 2020, 48(8): 1916–1919.
- [9] 康明星, 宋爱英, 苏文渊. 固相微萃取技术在滥用药物分析中的应用进展[J]. 化学研究与应用, 2020, 32(8): 1313–1320.
- KANG MX, SONG AY, SU WY. Application of solid phase microextraction in analysis of abused drugs [J]. Chem Res Appl, 2020, 32(8): 1313–1320.
- [10] 念琪循, 赵腾雯, 张子扬, 等. 氮化碳及其复合材料在样品前处理领域的应用[J]. 分析测试学报, 2020, 39(7): 929–934.
- NIAN QX, ZHAO TW, ZHANG ZY, et al. Applications of graphitic carbon nitride and its composites in sample pretreatment [J]. J Instrum Anal, 2020, 39(7): 929–934.
- [11] MIRZAJANI R, RAMEZANI Z, KARDANI F. Selective determination of thidiazuron herbicide in fruit and vegetable samples using molecularly imprinted polymer fiber solid phase microextraction with ion mobility spectrometry detection (MIPF-SPME-IMS) [J]. Microchem J, 2017, (130): 93–101.
- [12] 叶琳洋, 康琴, 李刚, 等. 气液微萃取和 GC-MS 对臭豆腐中挥发性成分提取与分析[J]. 食品工业科技, 2020, 41(12): 48–54.
- YE LY, KANG Q, LI G, et al. Extraction and analysis of volatile aroma components in stinky tofu by gas-liquid microextraction and GC-MS [J]. Sci Technol Food Ind, 2020, 41(12): 48–54.
- [13] LI J, WANG Y, YAN S, et al. Molecularly imprinted calixarene fiber for solid-phase microextraction of four organophosphorous pesticides in fruits [J]. Food Chem, 2016, (192): 260–267.
- [14] WANG D, GAO D, HUANG Y, et al. Preparation of restricted access molecularly imprinted polymers based fiber for selective solid-phase microextraction of hesperetin and its metabolites *in vivo* [J]. Talanta, 2019, (202): 392–401.
- [15] ANSARI S, KARIMI M. Recent progress, challenges and trends in trace determination of drug analysis using molecularly imprinted solid-phase microextraction technology [J]. Talanta, 2017, (164): 612–625.

(责任编辑: 张晓寒)

### 作者简介



付铭, 实验师, 主要研究方向为天然产物的研究与开发。

E-mail: 1290369393@qq.com



王爱霞, 高级实验师, 主要研究方向为天然产物的研究与开发。

E-mail: xiaozai5215@126.com